



La fisica delle stelle

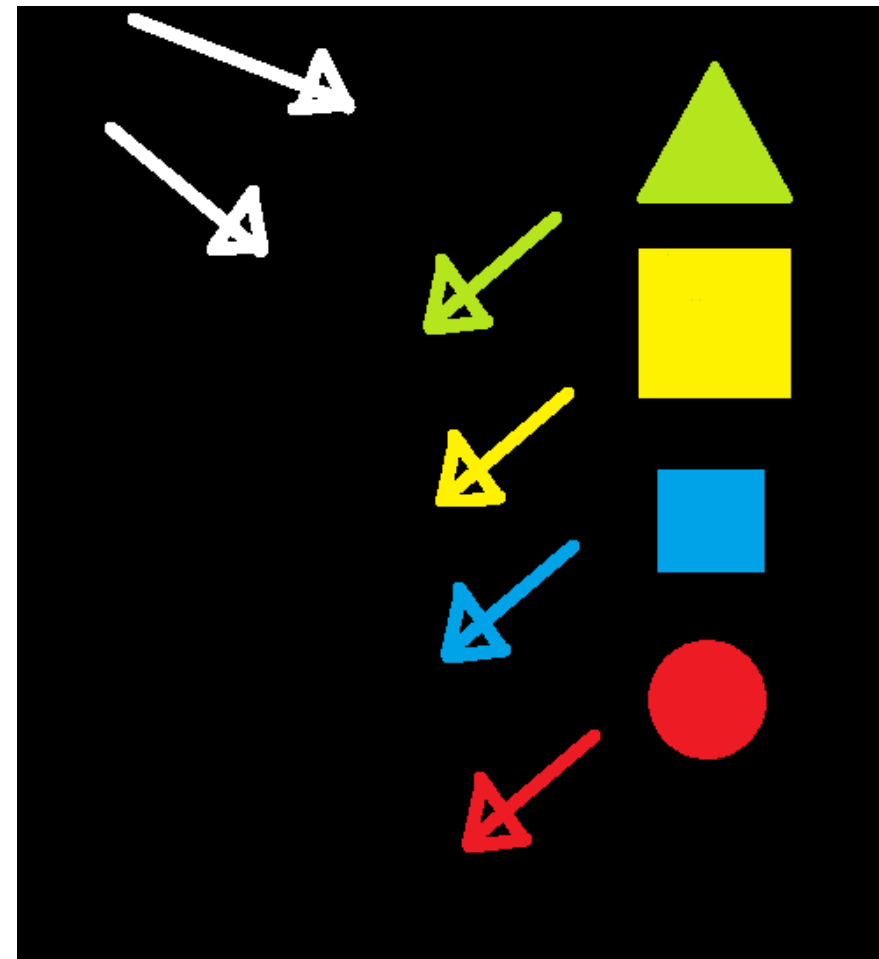
Lucio Gialanella

Dipartimento di Matematica e Fisica

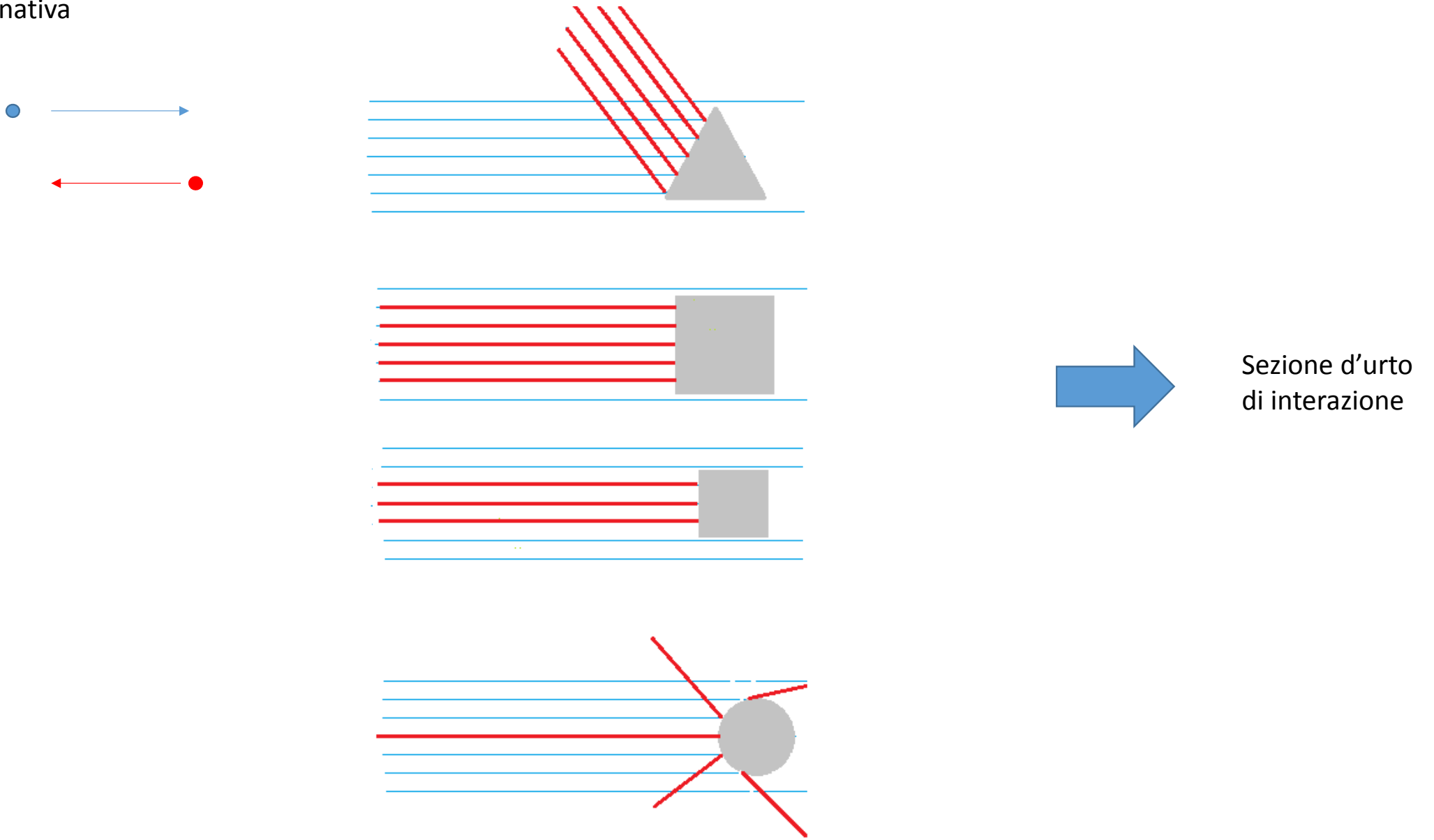
Seconda Università di Napoli and INFN – Napoli



Come
vediamo?



In alternativa

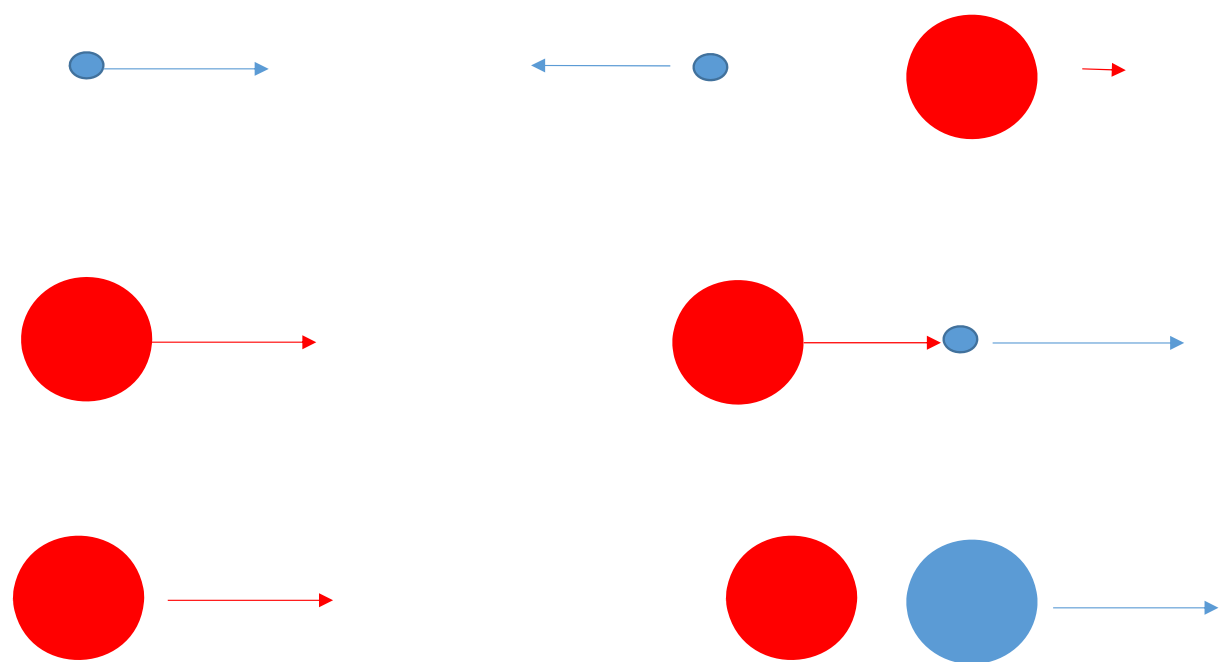


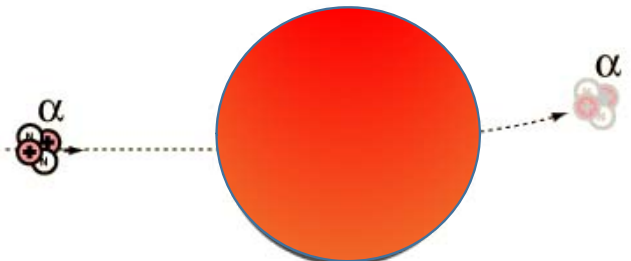
Sezione d'urto
di interazione

$$m_1 v_1 + m_2 v_2 = m_1 v_0$$

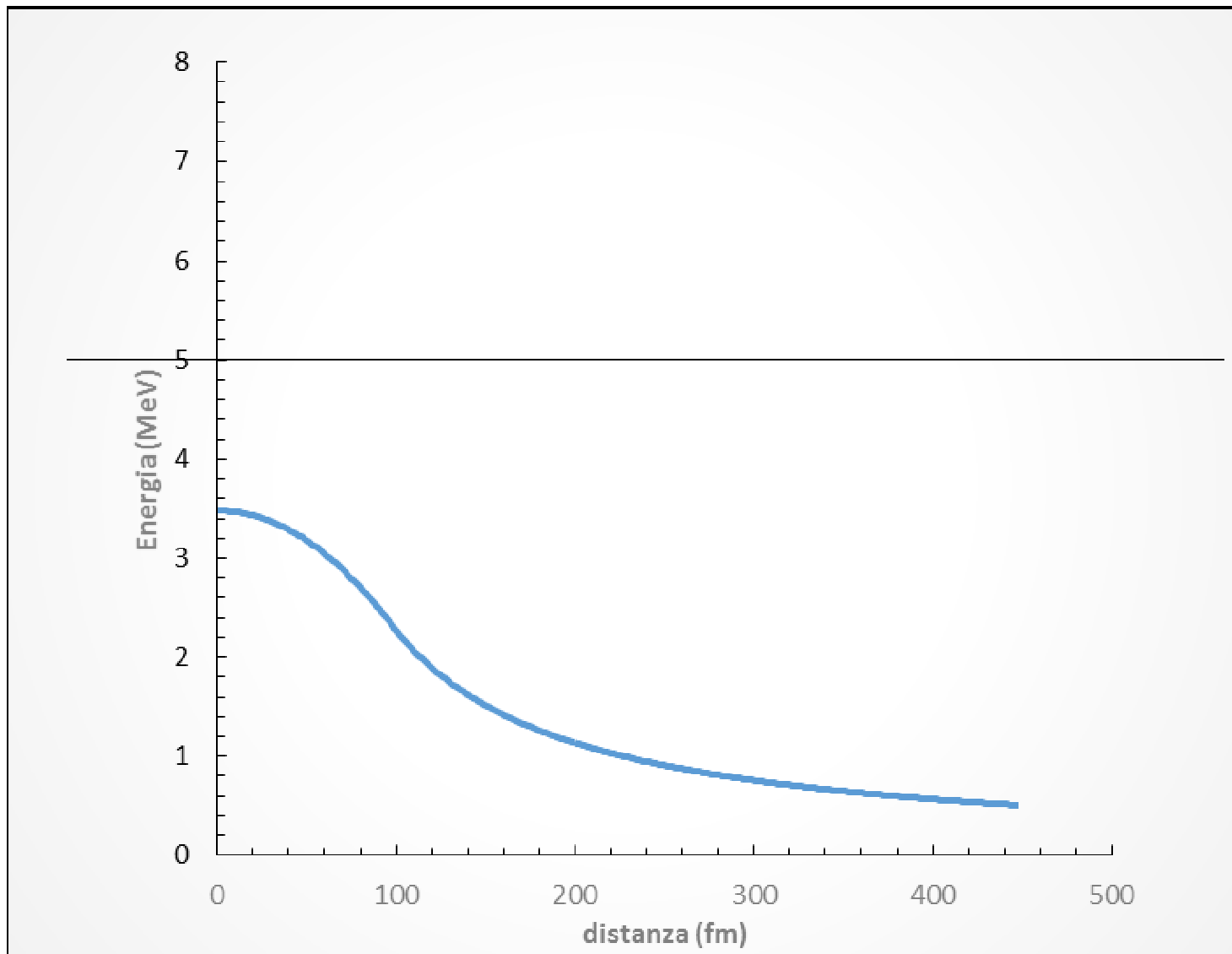
$$\frac{1}{2} m_1 v_1^2 + \frac{1}{2} m_2 v_2^2 = \frac{1}{2} m_1 v_0^2$$

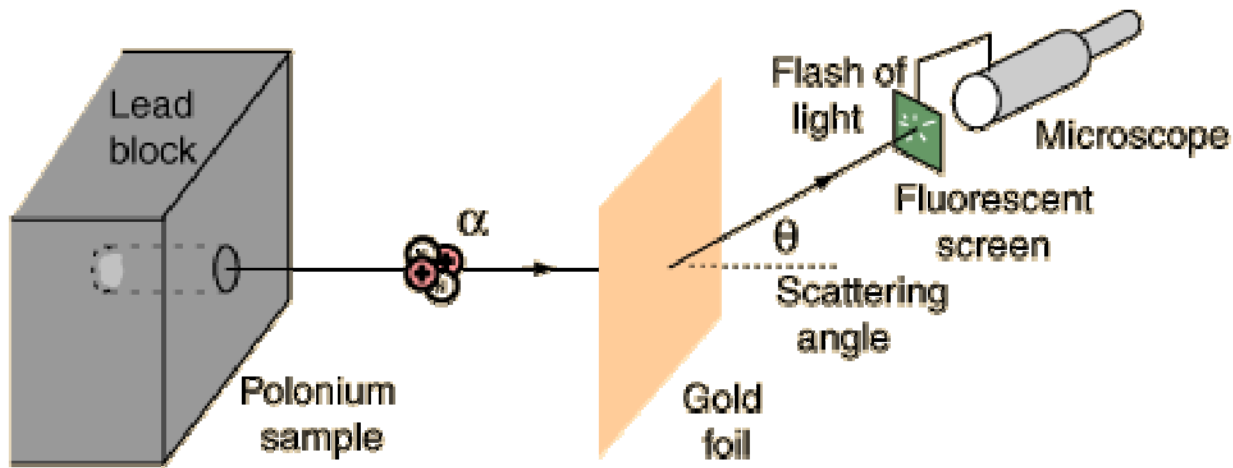
Urti elastici



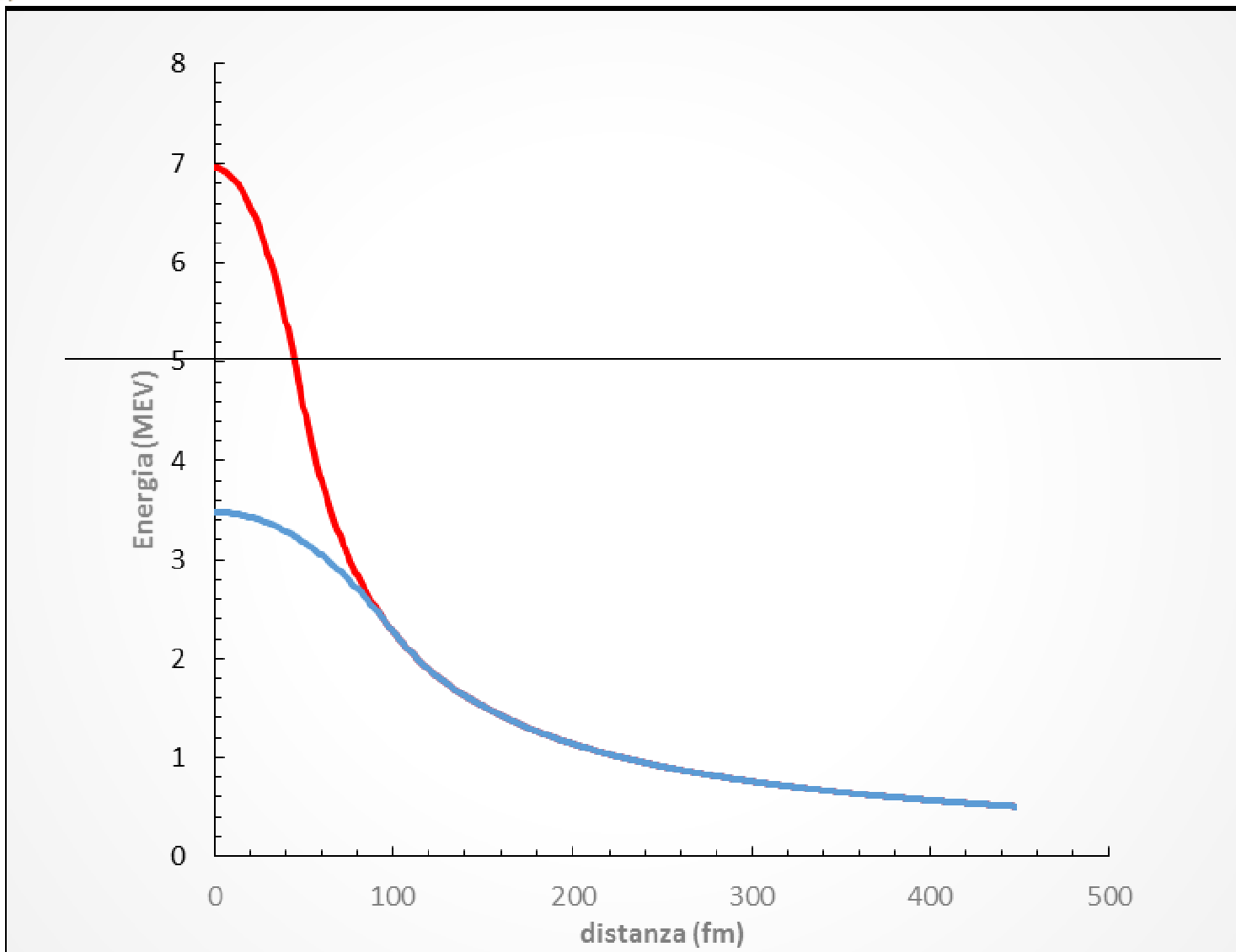
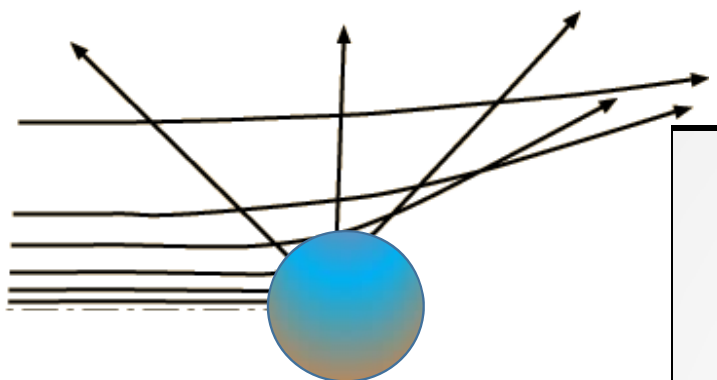


Modello atomico di Thomson





<http://hyperphysics.phy-astr.gsu.edu/hbase/rutsca.html>





rutherford-scattering_en.jnlp

<http://phet.colorado.edu/en/simulation/rutherford-scattering>

In Europa ci sono circa 250 milioni di auto

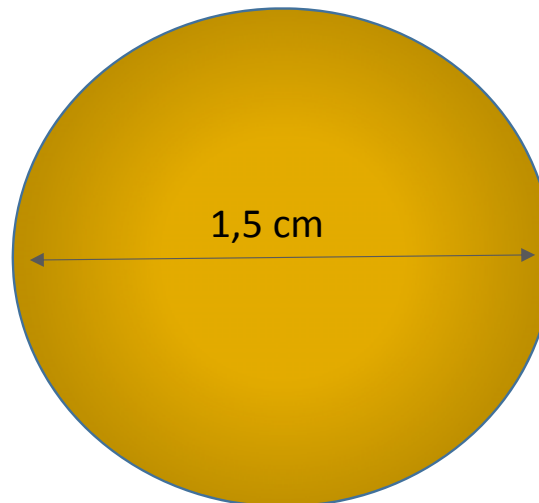


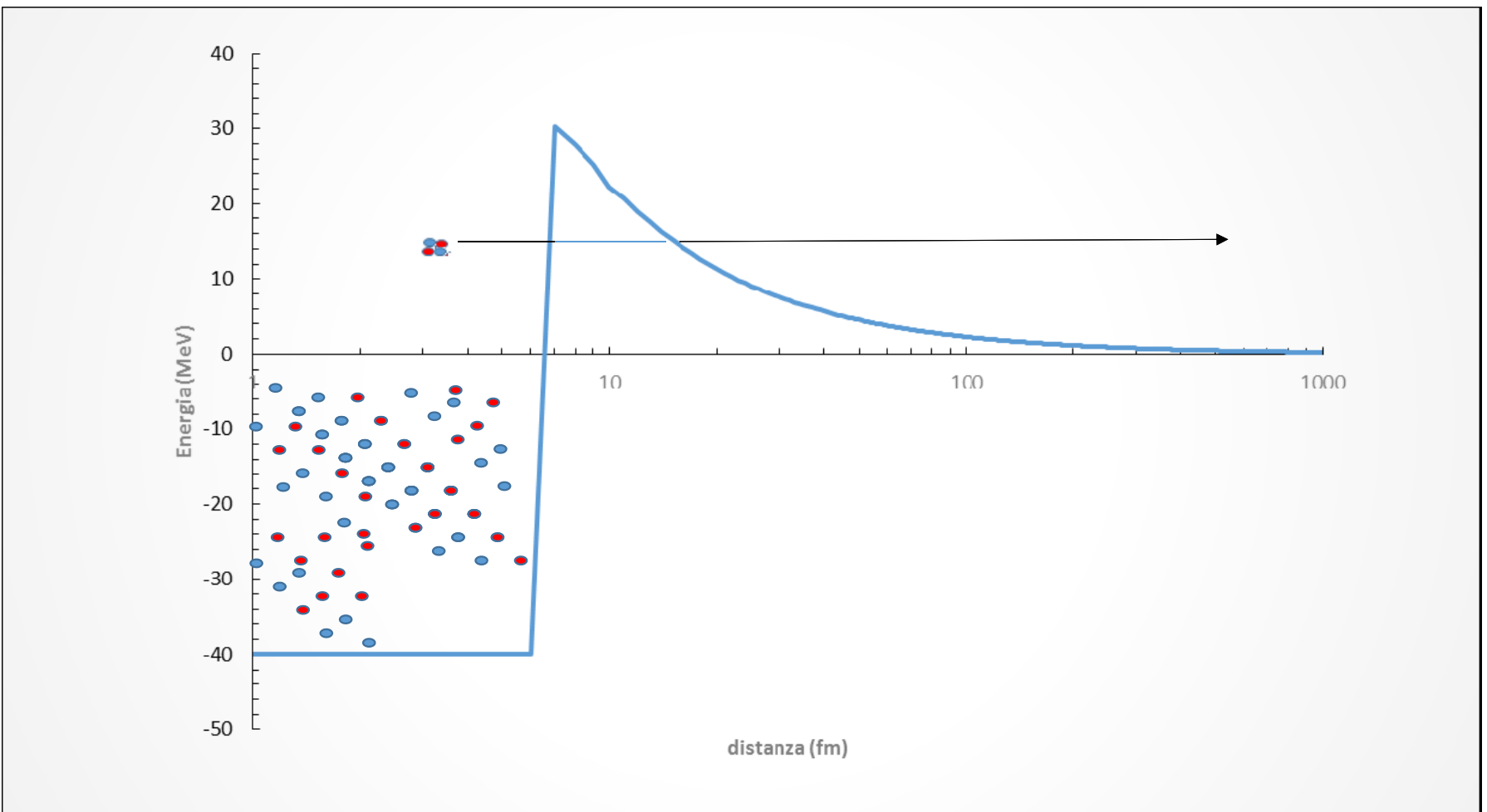
Modello atomico di Rutherford

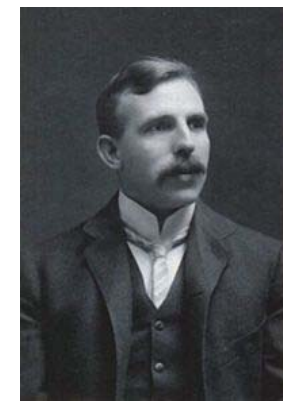
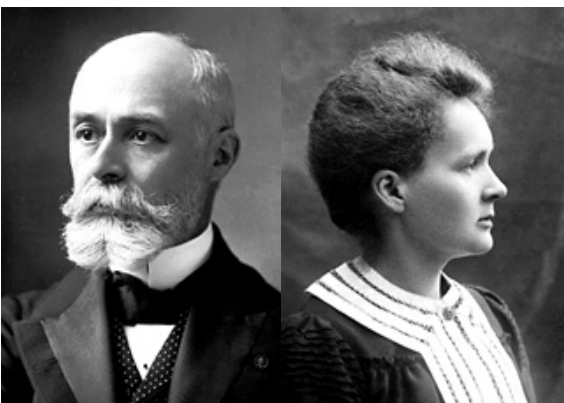
$$R_N \approx 1.22 A^{1/3} 10^{-15} m$$

$$M_N \approx A \cdot 2 \cdot 10^{-27} kg$$

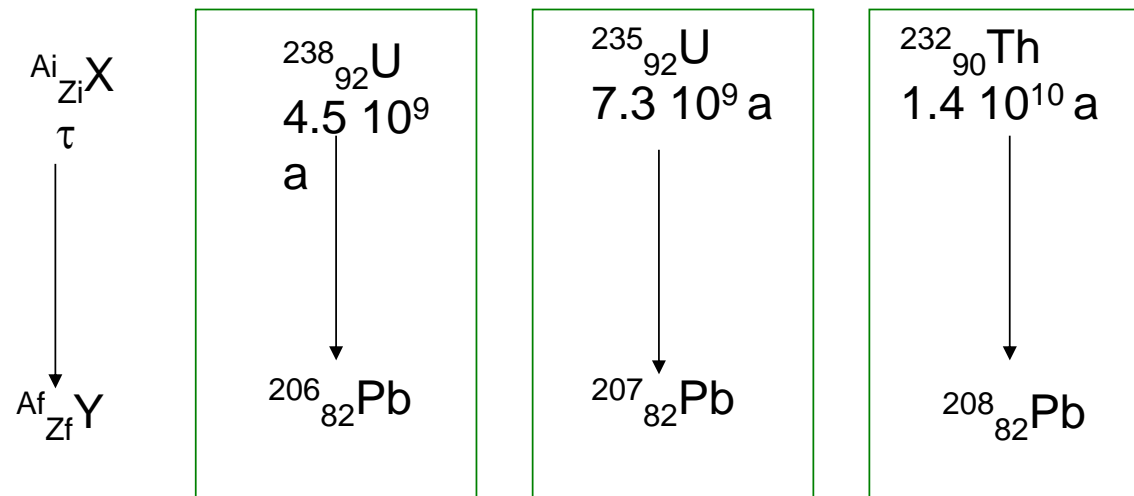
$$\rho_N = \frac{M_N}{\frac{4}{3}\pi R_N^3} \approx \frac{2 \cdot 10^{-27} kg}{8 \cdot 10^{-45} m^3} \approx 2.5 \cdot 10^{17} \frac{kg}{m^3}$$

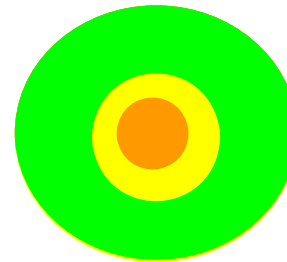
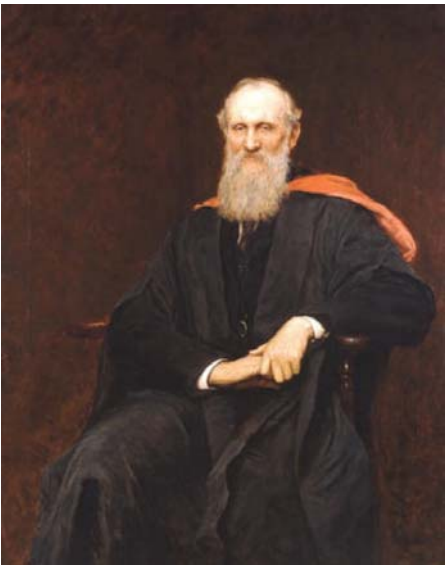




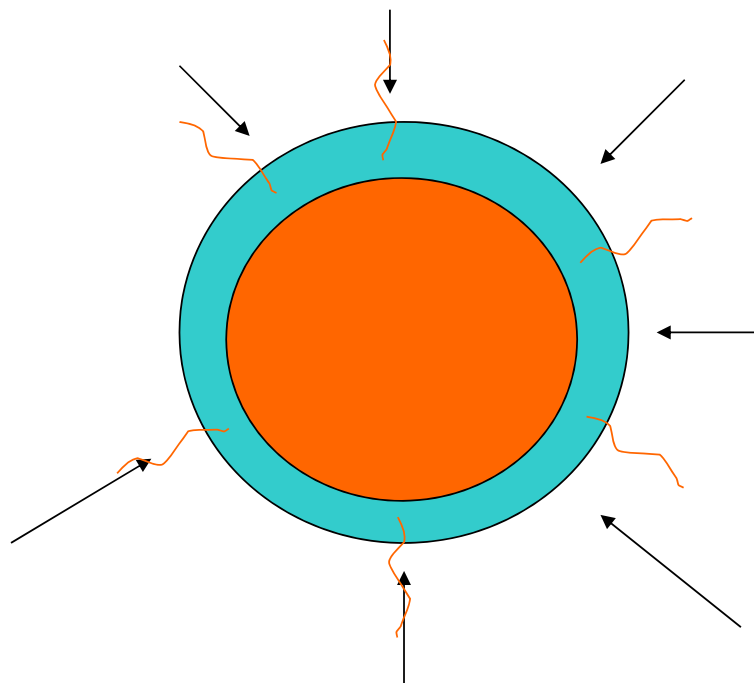


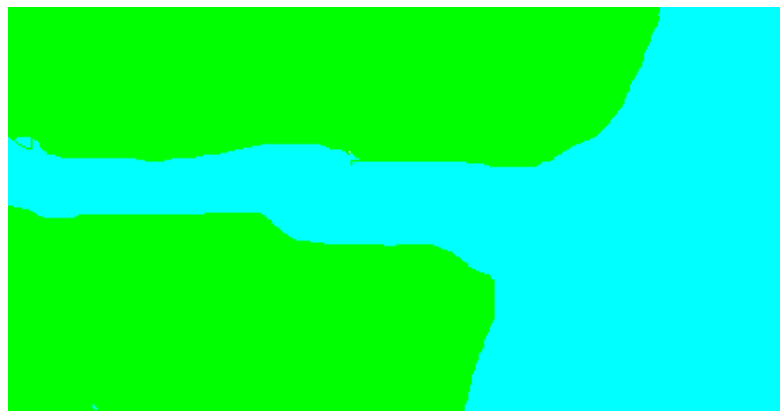
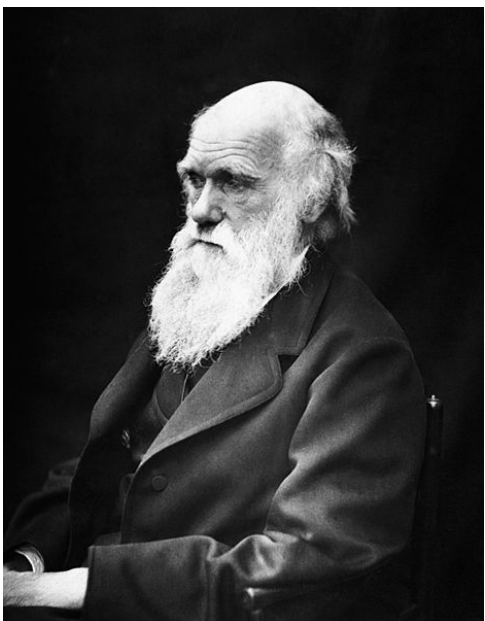
Serie radioattive



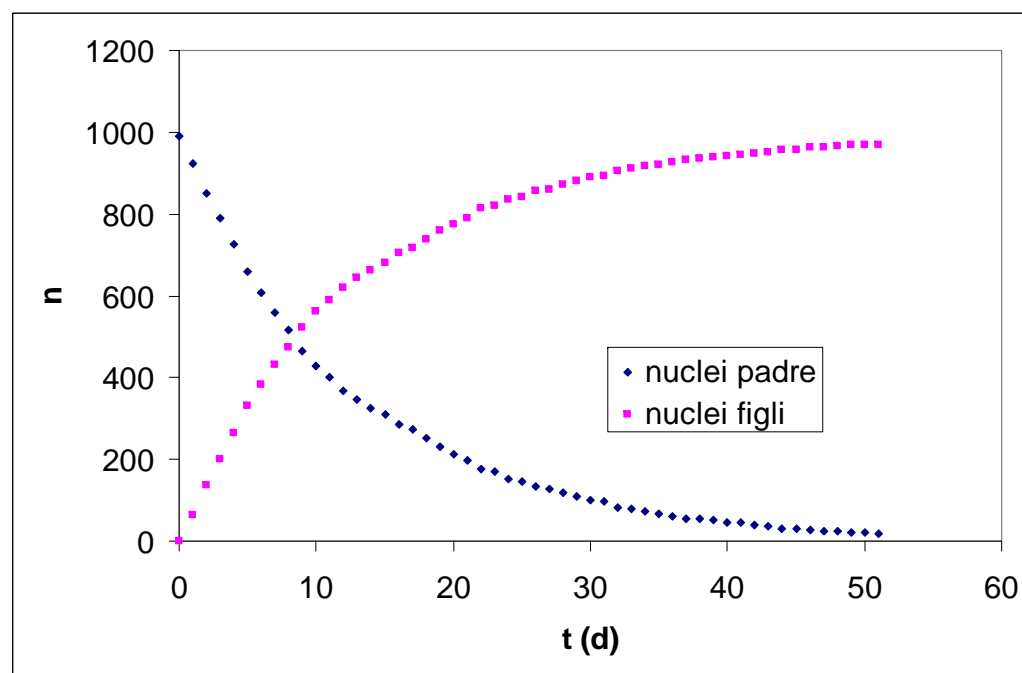


Circa 30 milioni di anni

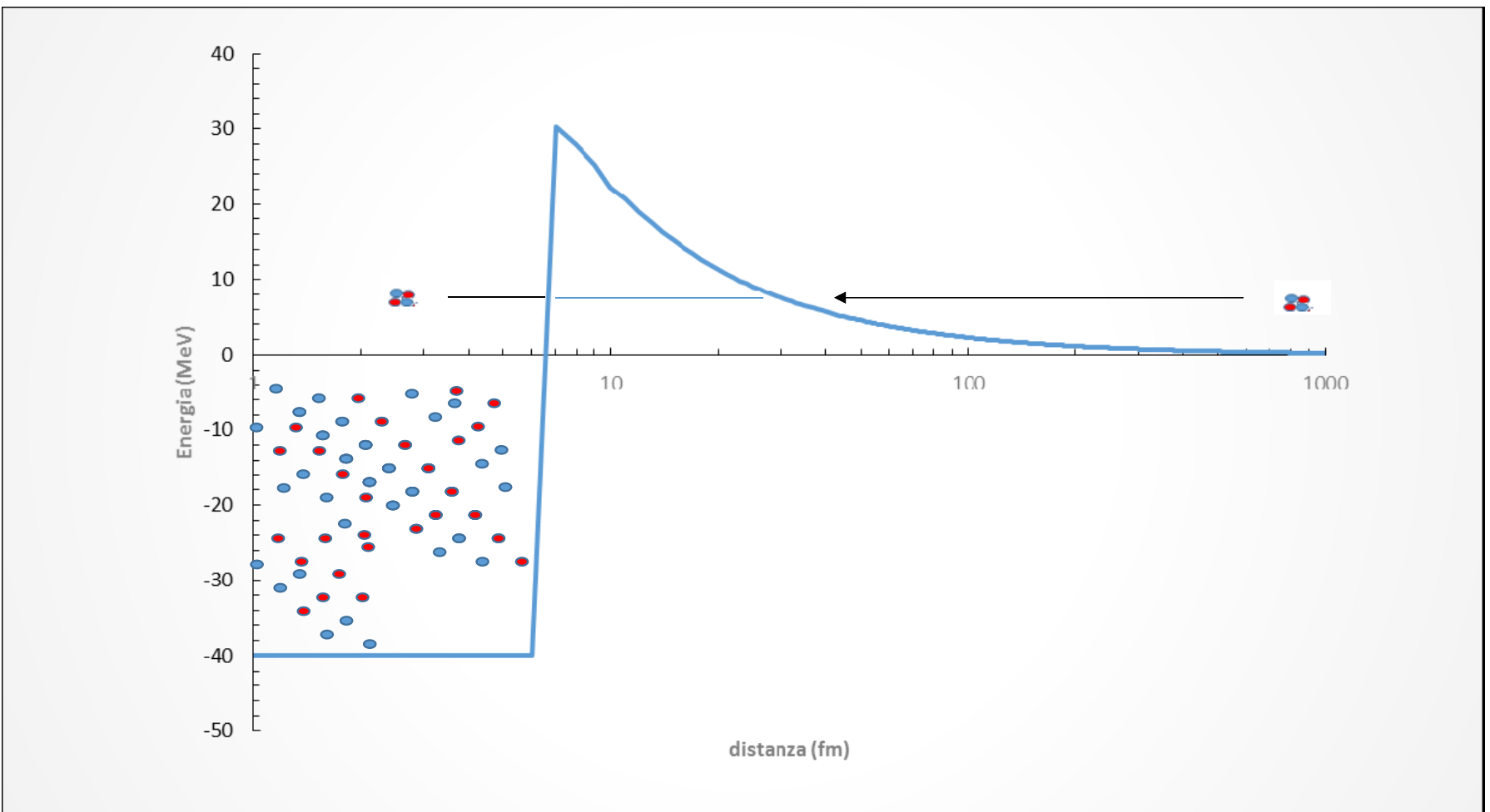


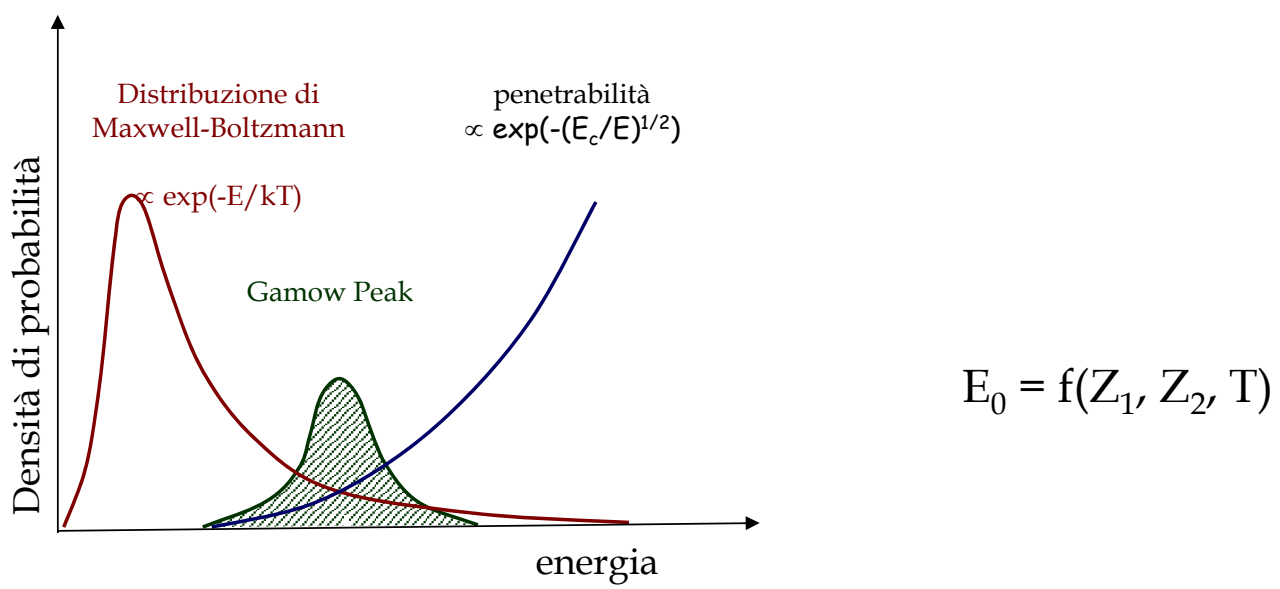


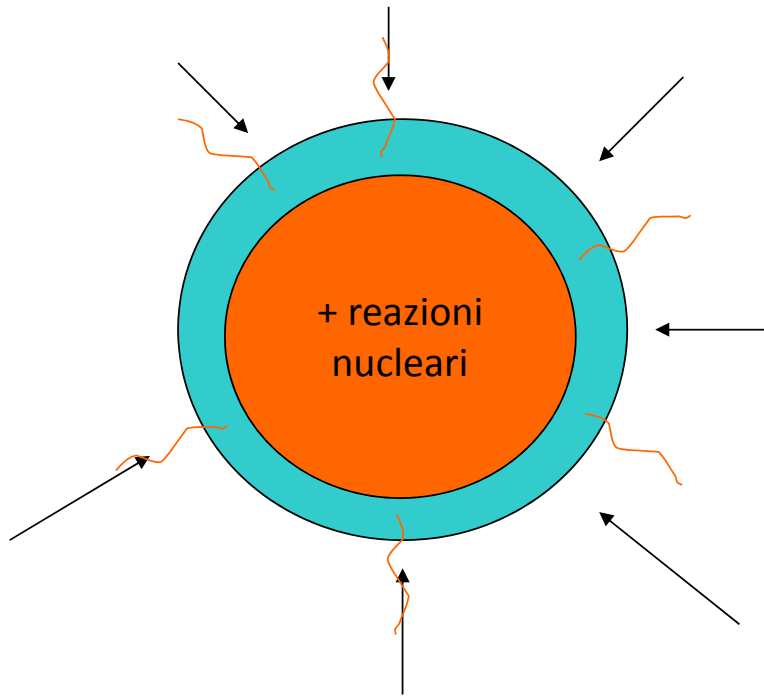
300-400 milioni di anni



4.5 miliardi di anni







Ogni secondo 4
milioni di tonnellate di
materia solare
si trasformano in energia

11 miliardi di anni

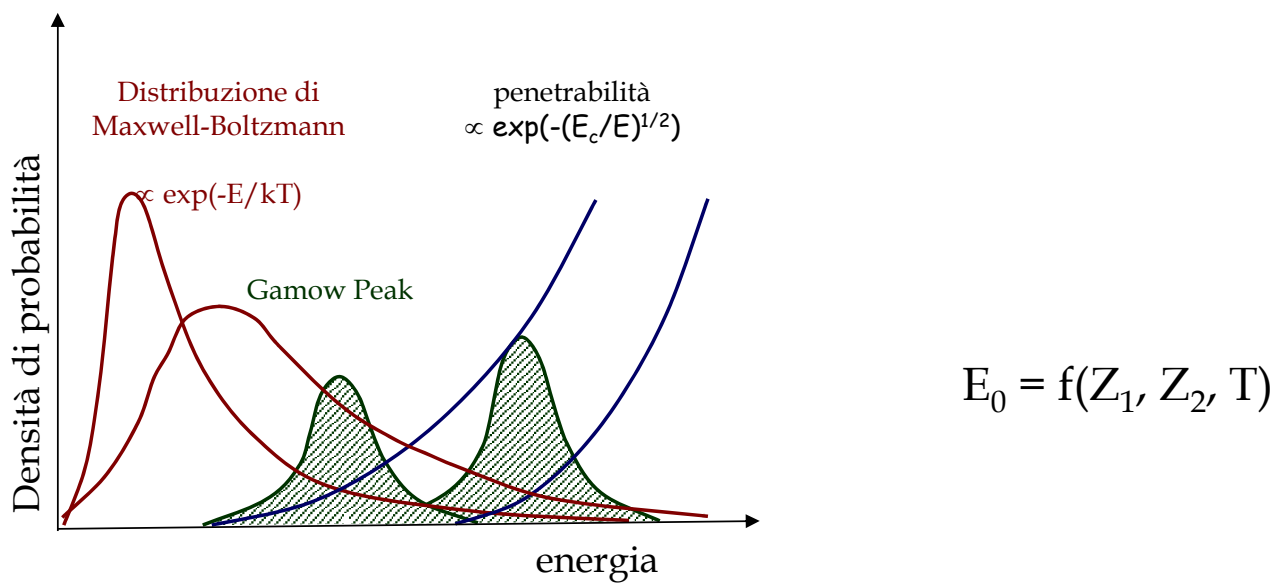
$$E_0 = 1.22 (Z_1^2 Z_2^2 \mu T_6^2)^{1/3} \text{ keV}$$

Sole : $T_6 = 15 \cdot 10^6 \text{ K}$

reaction	$E_0(\text{keV})$	Integral
p+p	5.9	$7 \cdot 10^{-6}$
$\alpha + {}^{12}\text{C}$	56	$5.9 \cdot 10^{-56}$
${}^{16}\text{O} + {}^{16}\text{O}$	237	$2.5 \cdot 10^{-237}$

→ Fasi separate

➡ $10^{-21} \text{ barn} < \sigma < 10^{-9} \text{ barn}$



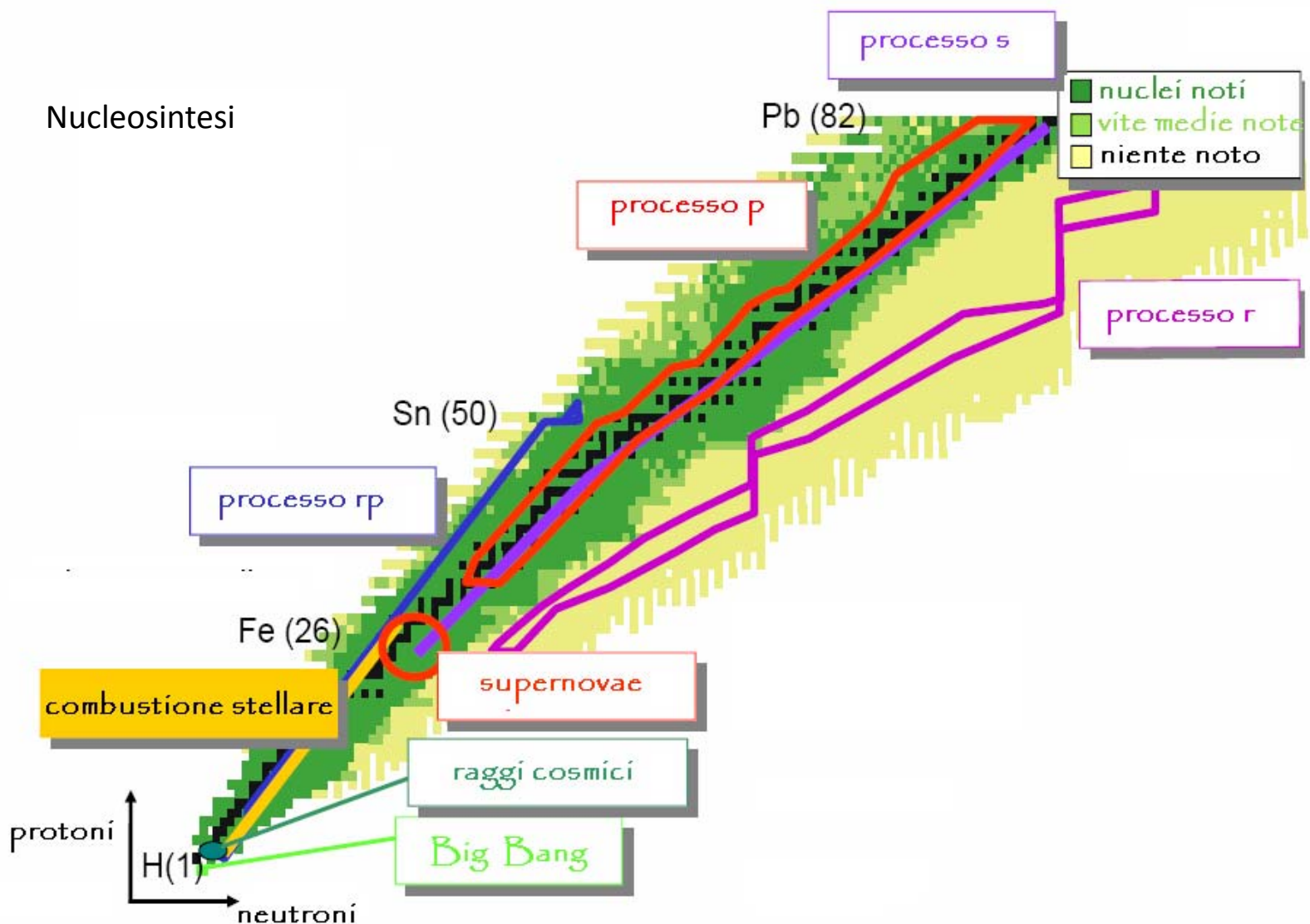
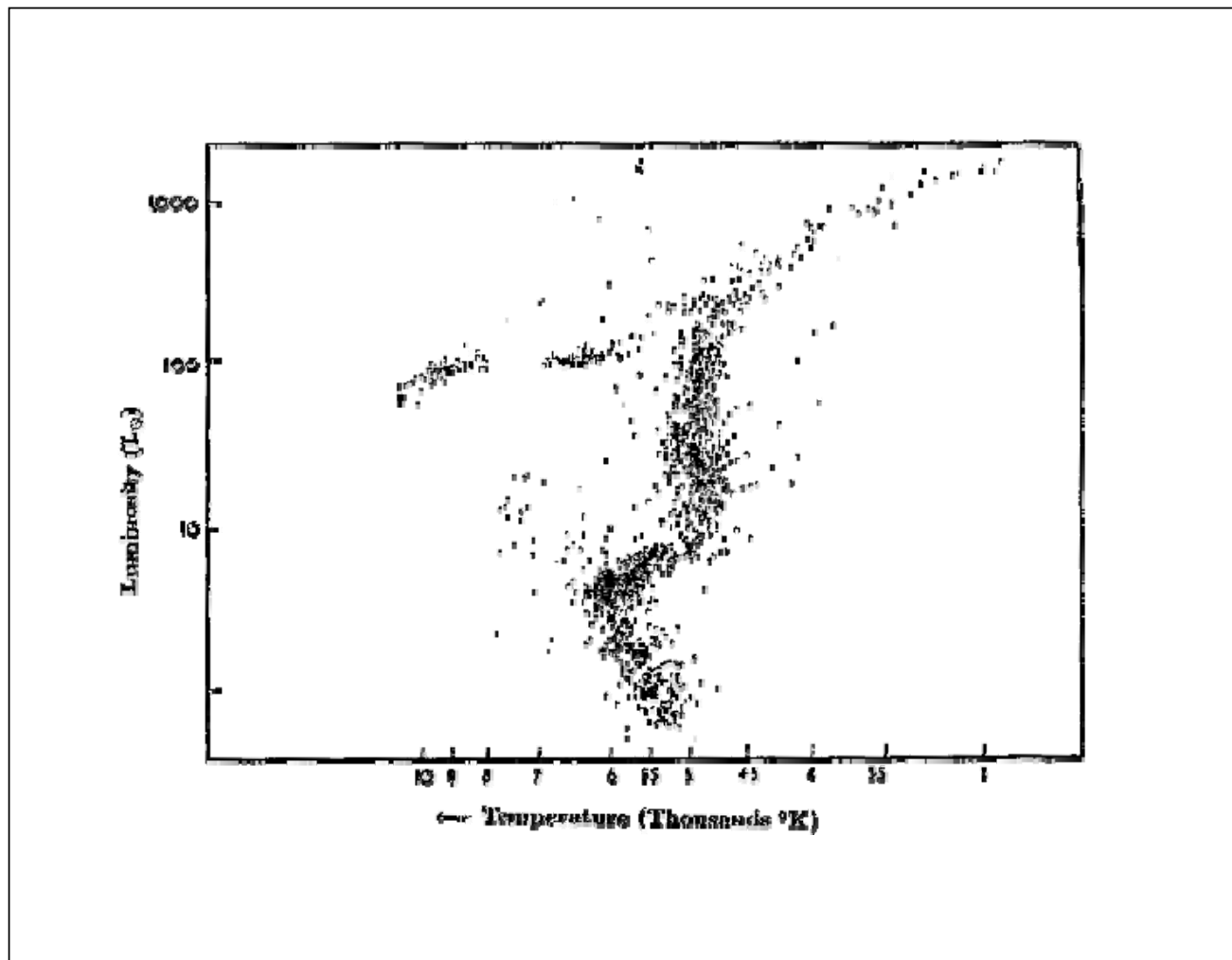
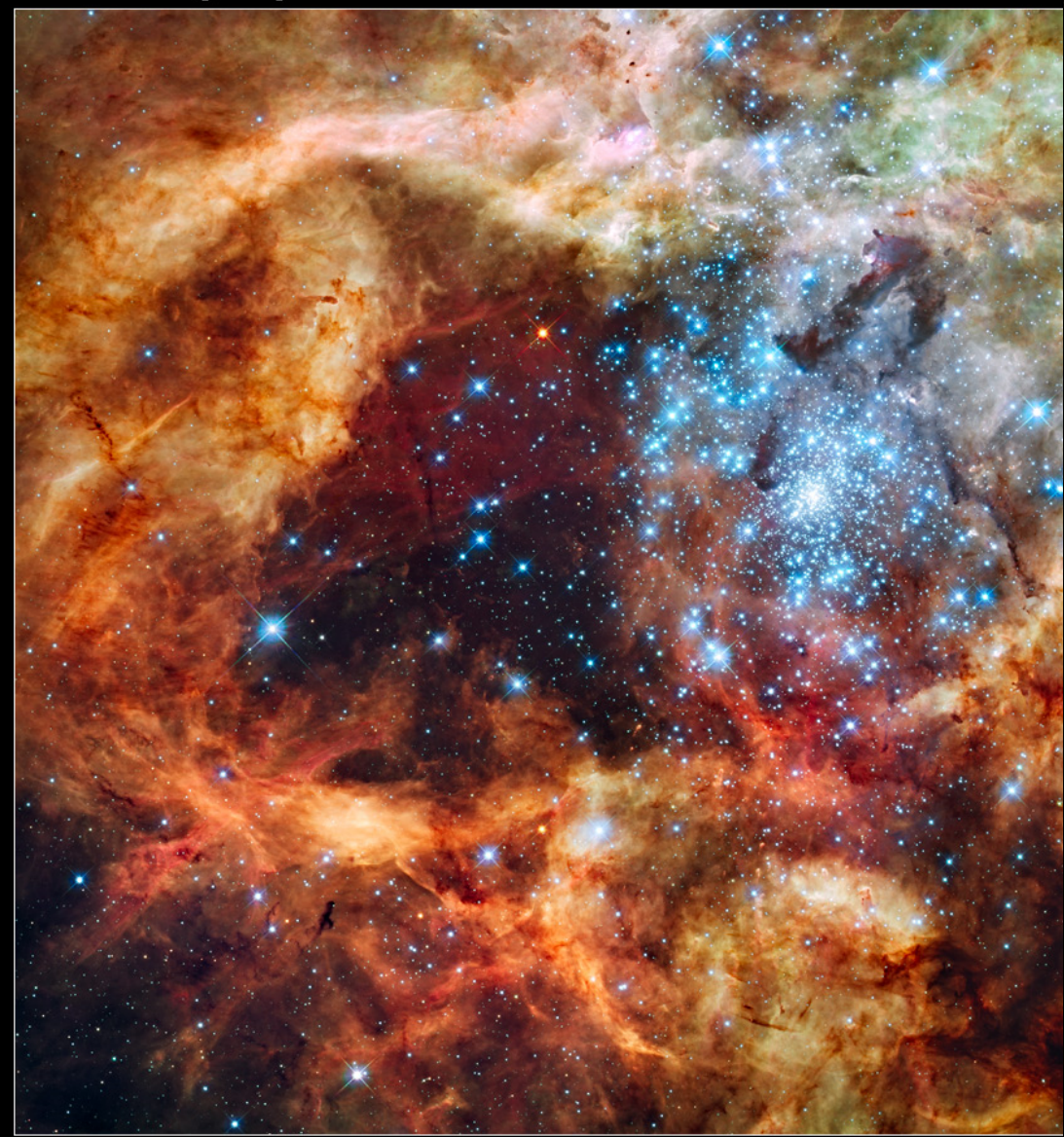


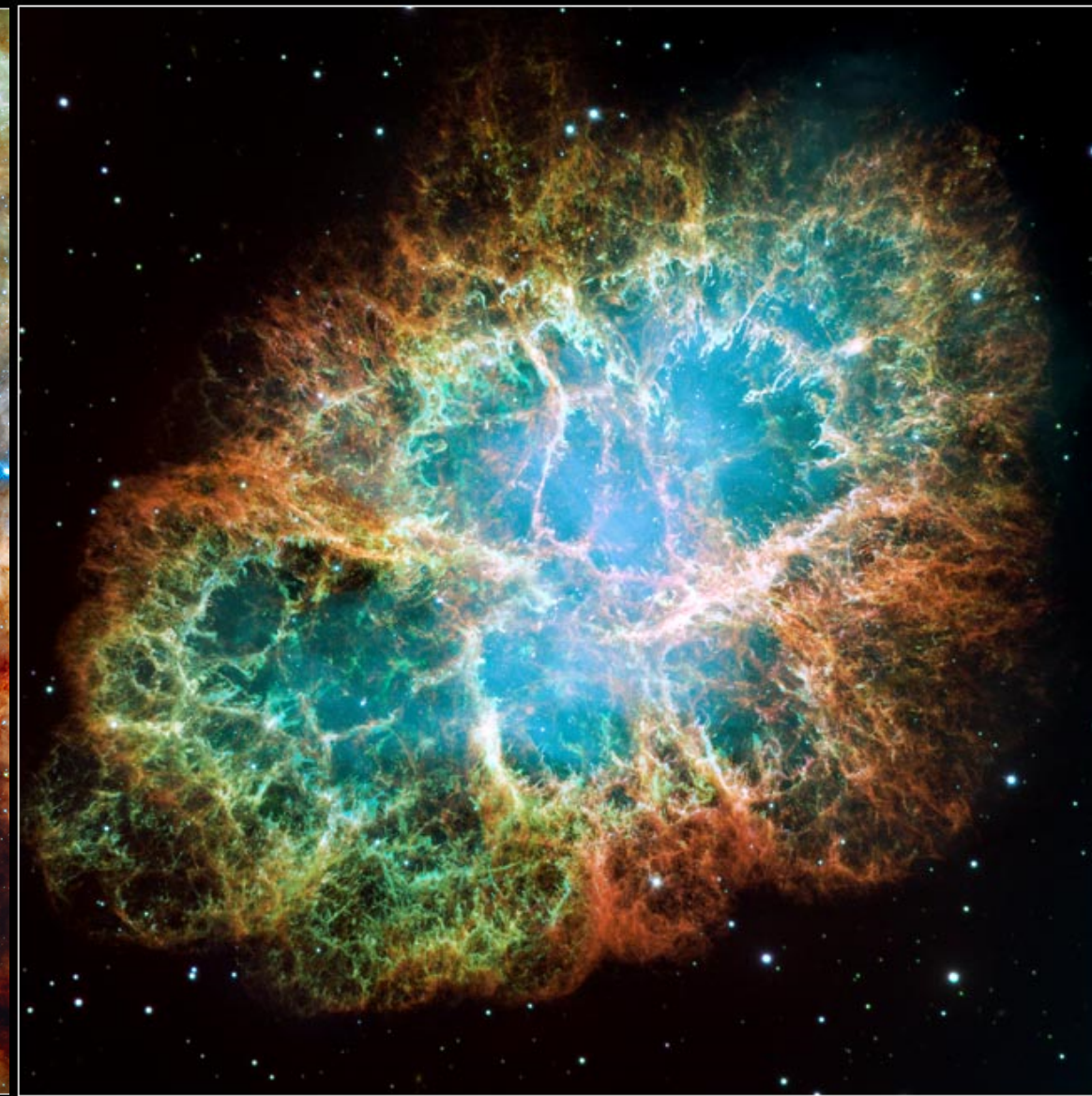
Diagramma HR per ammassi globulari



Star-Forming Region 30 Doradus



HST • WFC3/U Crab Nebula • M1



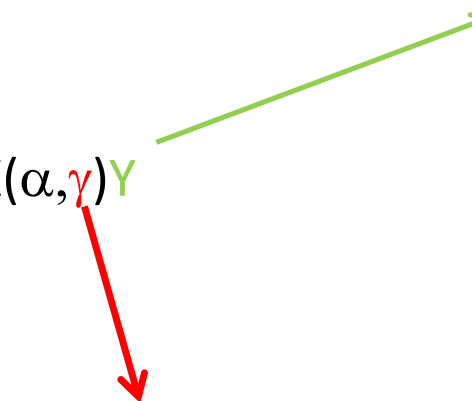
NASA, ESA, F. Paresce (INAF-IASF, Italy), and the WFC3 Science Oversight Committee

STScI-PRC0 NASA, ESA, and J. Hester (Arizona State University)

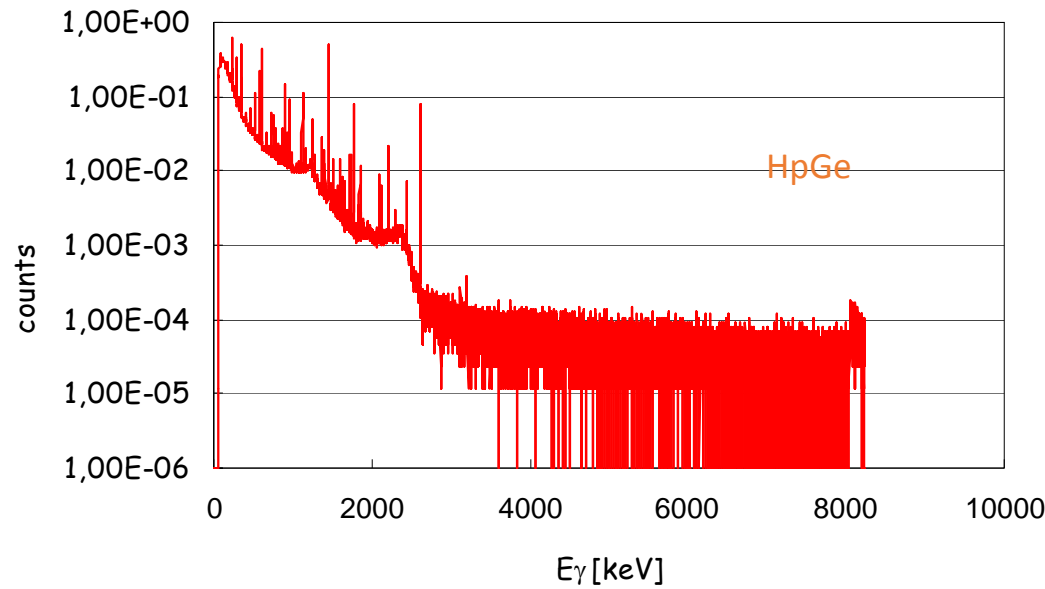
STScI-PRC05-37

Reazioni di fusione completa: $X(\alpha, \gamma)Y$

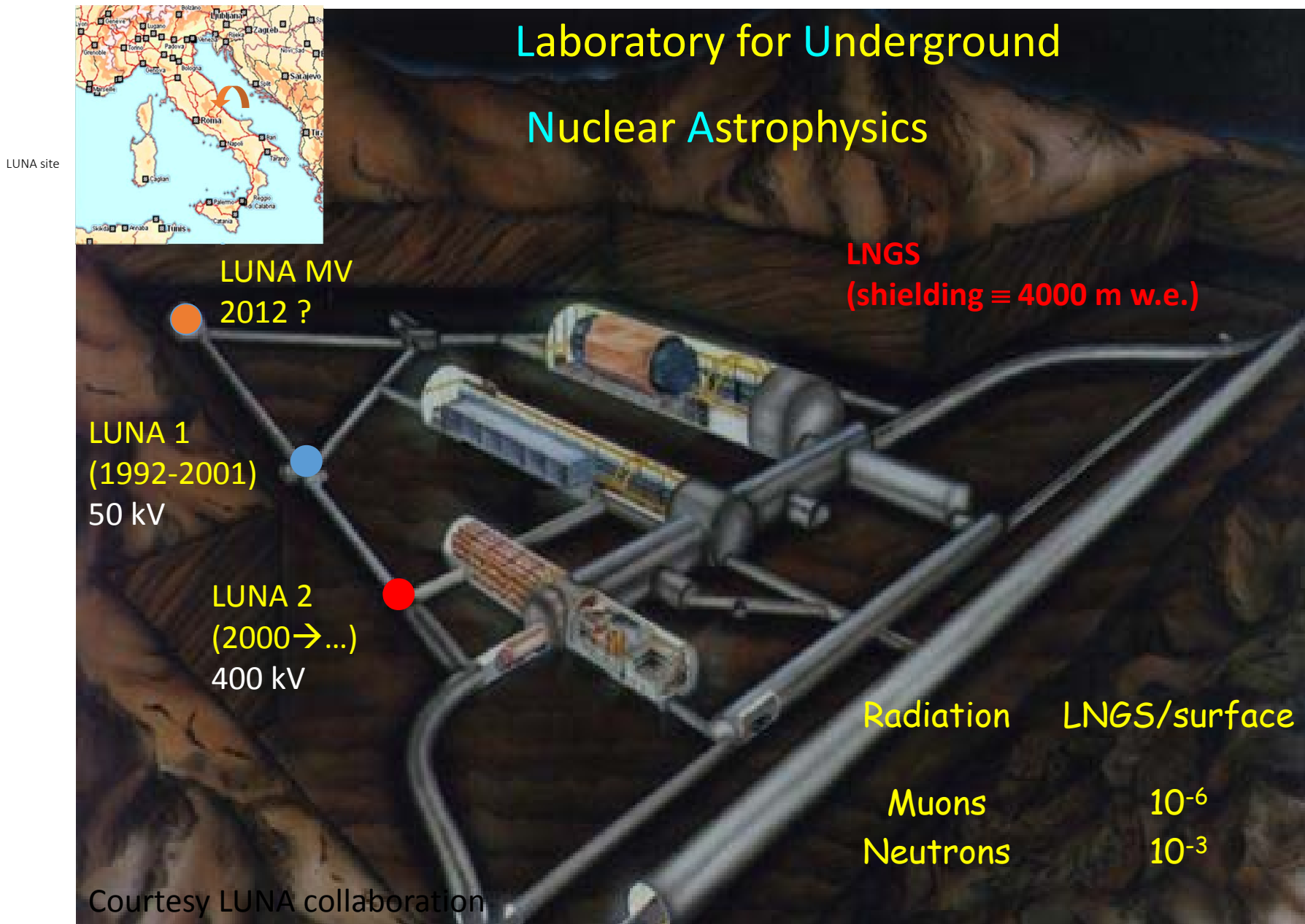
Nessun fondo naturale

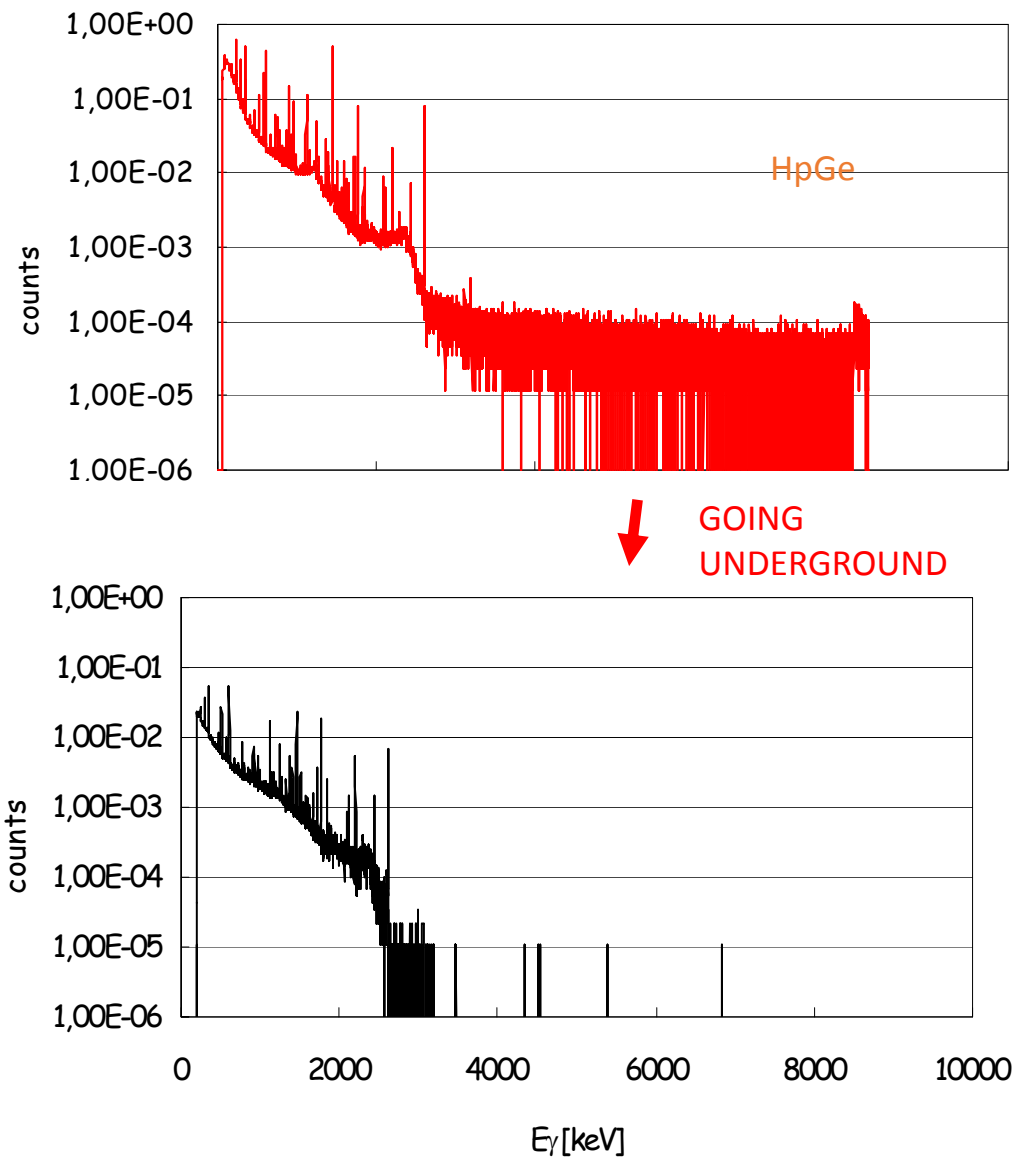


Fondo dovuto a raggi cosmici e
Radioattività naturale



0.5 Counts/s

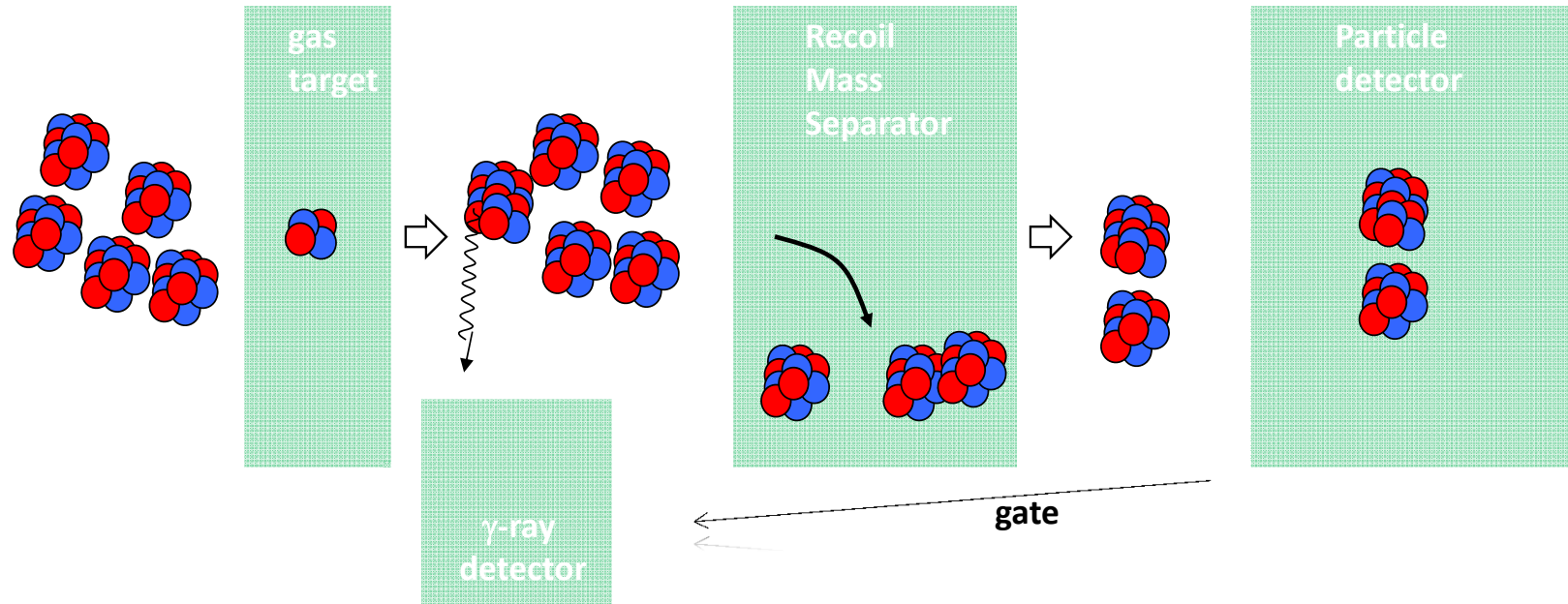




0.5 Counts/s

0.0002 Counts/s

RMS : working principle

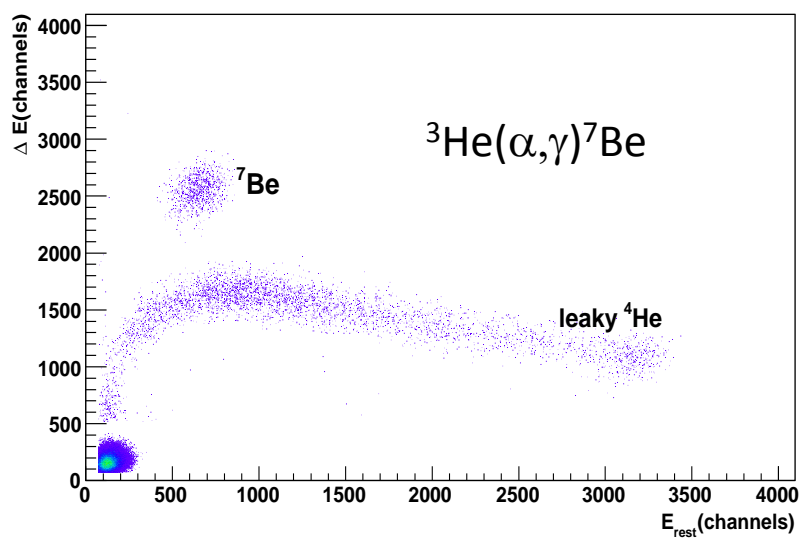
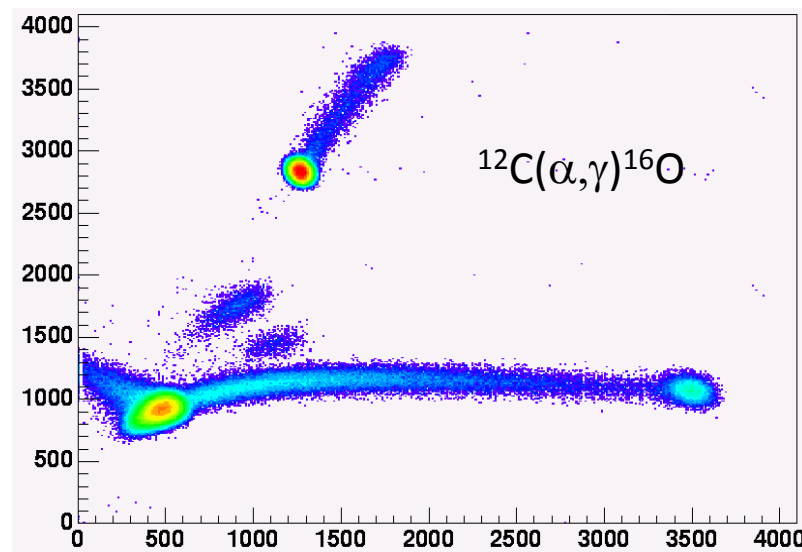


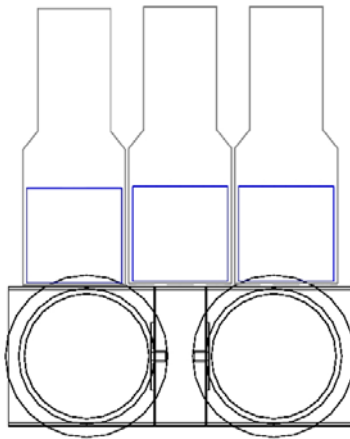
Recoil detection

Soppressione del fascio
incidente

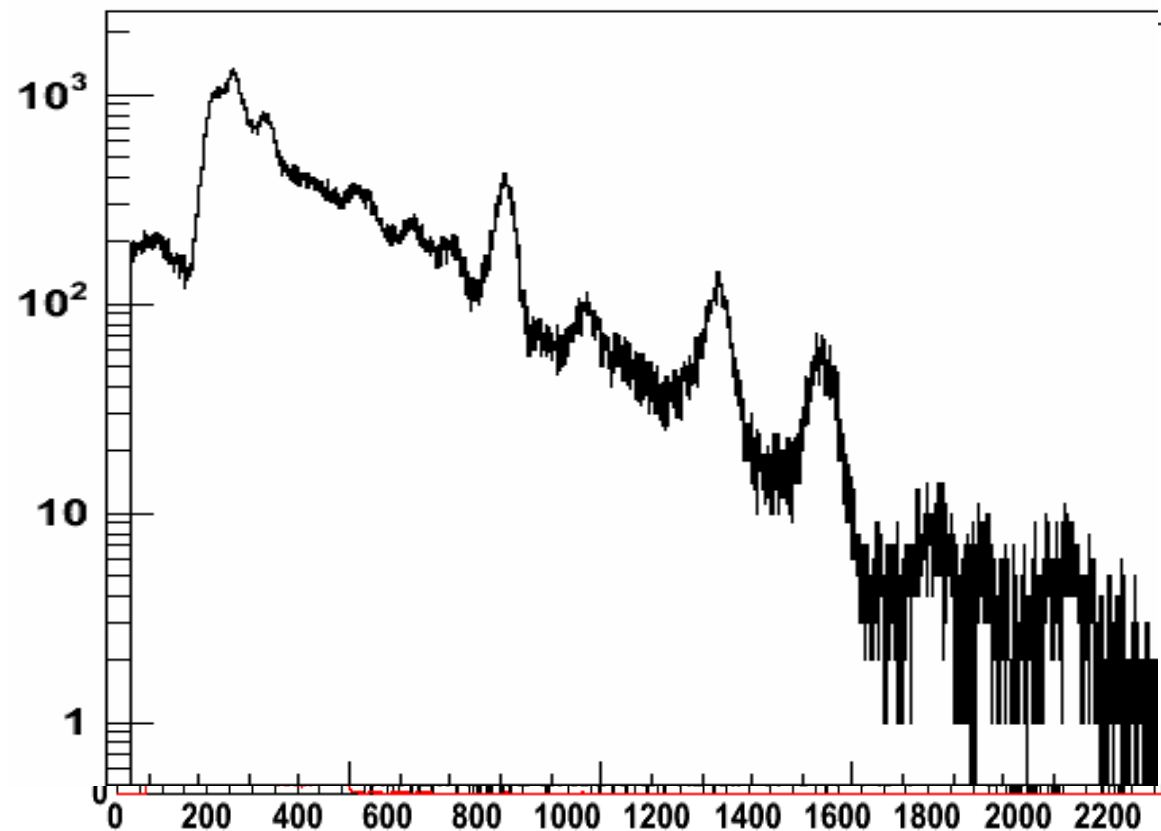
Separatore: 10^{-10} - 10^{-11}

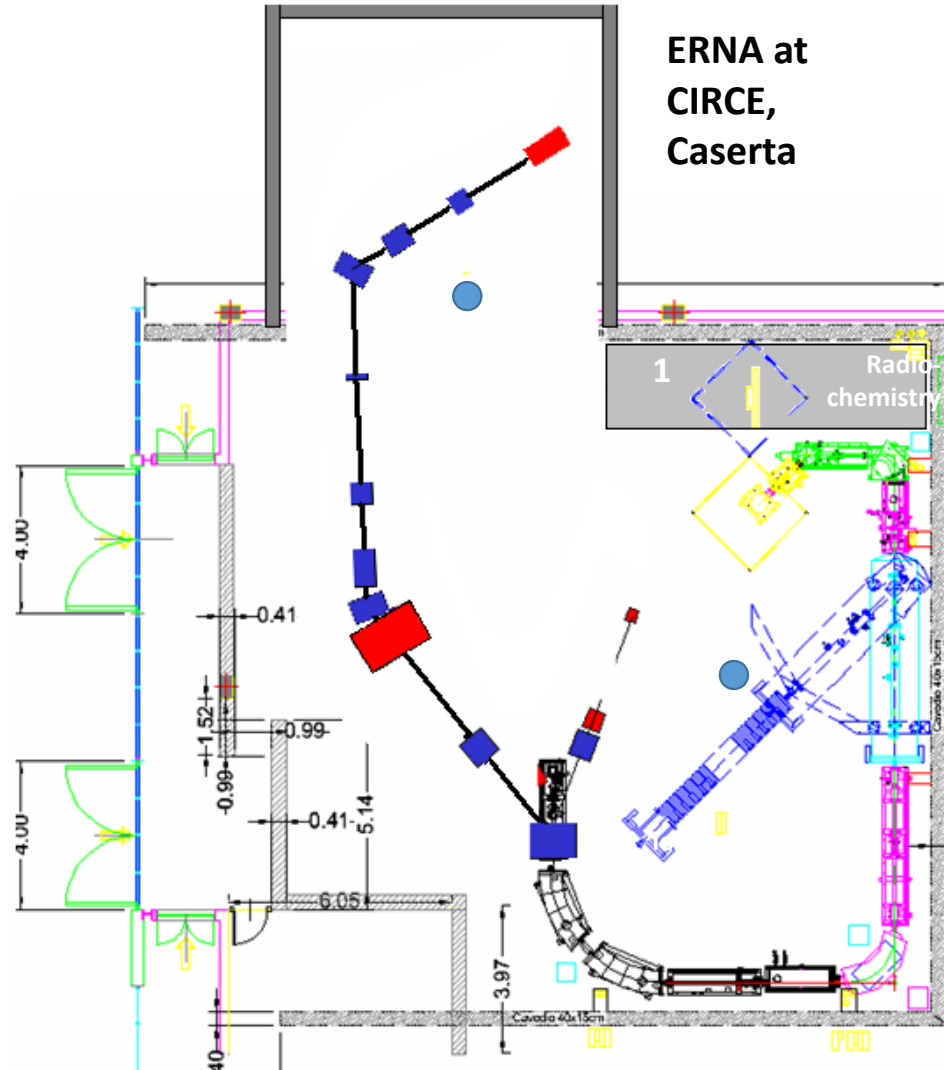
Rivelatore : 10^{-3} - 10^{-6}





$^3\text{He}(\alpha,\gamma)^7\text{Be} - \gamma$ measurements





3MV Pelletron
High intensity stable and radioactive ($^{7,10}\text{Be}$) ion beams
(possible ^{26}Al)

Plans:

- $^7\text{Be}(\text{p},\gamma)^8\text{B}$
- $^{12}\text{C}(\alpha,\gamma)^{16}\text{O}$
- $^{16}\text{O}(\alpha,\gamma)^{20}\text{Ne}$
- $^{33}\text{S}(\text{p},\gamma)^{34}\text{Cl}$
- $^{14,15}\text{N}(\alpha,\gamma)^{18,19}\text{F}$

SHE in nature

One Look Is Worth A Thousand Words--

One look at our line of Republic, Firestone, Miller and United States tires can tell you more than a hundred personal letters or advertisements.

WE WILL PROVE THEIR VALUE
BEFORE YOU INVEST ONE DOLLAR
IN THEM.

Ever consider buying Supplies from a catalog?

What's the use! Call and see what you are buying. One look at our display of automobile and motorcycle accessories will convince you of the fact.

THAT WE HAVE EVERYTHING FOR
THE AUTO

Piqua Auto Supply House
133 N. Main St.—Piqua, O.

Alcuni esempi delle metodologie nucleari sviluppate nelle ricerche di base

Tecniche di separazione di massa



Spettrometria di massa (AMS: p.e. ^{14}C , ^{26}Al , ^{10}Be , U, Pu)



Datazione, controllo ambientale

Reazioni nucleari



Spettroscopia dei prodotti di reazione



Analisi di materiali (composizione e struttura)

Radioattività



Imaging; Monitoraggio e controllo di processo